

СТРУКТУРА НЕОРГАНИЧЕСКИХ СОЕДИНЕНИЙ

УДК 548.736.6

КРИСТАЛЛИЧЕСКАЯ СТРУКТУРА Rb-ЭЛЬПАСОЛИТА Rb_2NaAlF_6

© 2013 г. О. В. Якубович^{1, 2}, Г. В. Кирюхина¹, О. В. Димитрова¹

¹ Московский государственный университет им. М.В. Ломоносова

² Институт геологии рудных месторождений, петрографии, минералогии и геохимии РАН, Москва

E-mail: yakubol@geol.msu.ru

Поступила в редакцию 02.08.2012 г.

Методом рентгеноструктурного анализа решена ($R = 0.0188$) кристаллическая структура Rb-аналога минерала эльпасолита Rb_2NaAlF_6 , полученного в виде монокристаллов методом гидротермального синтеза в системе $NaF-Rb_2CO_3-Al_2O_3-Rb_3PO_4-H_2O$: $a = 8.3087(1)$ Å, пр. гр. $Fm\bar{3}m$, $Z = 4$, $\rho_{выч} = 3.88$ г/см³. Предложена гипотеза существования Rb-эльпасолита в природе в поздних ассоциациях пегматитов, обогащенных рубидием.

DOI: 10.7868/S0023476113030296

ВВЕДЕНИЕ

Редкий природный фторид K_2NaAlF_6 – минерал эльпасолит – открыт в амазонитовых пегматитах, где он развивается по криолиту Na_3AlF_6 . Согласно [1], минералогическая информация о природных проявлениях эльпасолита весьма немногочисленна; большинство находок минерала связано со щелочными породами различных генетических типов: пегматитами, метасоматитами, карбонатитами, вулканическими комплексами. В высокощелочных условиях эльпасолит часто формируется как вторичный минерал на основе криолита либо других более ранних фторалюминатов. Первичные выделения эльпасолита, не связанные со щелочными породами, обнаружены в газово-жидких включениях в топазах камерных пегматитов Волыни, а также в полостях известняковой породы на гидротермальном сурьмяном месторождении Четине в Италии [1, 2].

Образование эльпасолита K_2NaAlF_6 на основе «криолитовой» матрицы Na_2NaAlF_6 обусловлено близостью кристаллических структур этих минералов: в обеих присутствуют квазизолированные октаэдры AlF_6 . Увеличение потенциала калия в различных условиях природного кристаллогенеза приводит к перераспределению катионов щелочных металлов Na и K, и моноклинный криолит трансформируется в кубический эльпасолит. Кристаллохимическая причина такого преобразования – размерные взаимоотношения “крупного” иона K^+ и “мелкого” иона Na^+ : первый прекрасно вписывается в пустоты из 12 анионов, а второй – в октаэдрические полости плотноупакованной кубической структуры [3].

Особенности кристаллохимии, фазовые переходы и физические свойства большой группы синтетических фторидов с общей формулой

A_2BMF_6 , где $A = K, Rb, Cs, Tl, NH_4$; $B = Na, Li, K, Rb, Tl, M = Al, Ga$ или атомы переходных 3d-элементов, объединенной в литературе термином “эльпасолиты” по названию минерала, активно изучаются начиная с 70-х годов прошлого века. Анализ спектра люминесценции эльпасолита K_2NaAlF_6 , допированного ионами Cr^{3+} [4], и последующие исследования оптических свойств эльпасолитов различного состава [5, 6] показали их перспективность в качестве излучающих элементов. Так, согласно [5], допированные ионами Cr^{3+} кристаллы Cs_2NaAlF_6 могут служить потенциальными источниками излучения в ближней инфракрасной области (700–900 нм) и представляют технологический интерес для создания перестраиваемых лазеров на их основе. Эльпасолит состава Cs_2NaYF_6 , легированный ионами Er^{3+} , представляется перспективным материалом в качестве сцинтилятора для диапазона вакуумного ультрафиолета [7]. Исследованы также термодинамические свойства синтетических фторидов со структурой эльпасолита: выполнены измерения теплоемкостей синтезированных веществ, обнаружены последовательности фазовых переходов, определены их термодинамические характеристики [8, 9]. Результаты изучения магнитных свойств эльпасолитов с катионами V^{3+}, Cr^{3+}, Fe^{3+} при различных температурах приведены в [10].

Синтетическая Rb-разновидность эльпасолита представлена в [10, 11]. Было показано, что для этой фазы характерна кубическая симметрия вплоть до температуры фазового перехода 77 К [11], однако прецизионного структурного исследования кристаллов такого состава до настоящего момента выполнено не было. В настоящей работе приводятся результаты изучения кристаллической структуры синтезированного монокристалла Rb_2NaAlF_6 .

ПОЛУЧЕНИЕ КРИСТАЛЛОВ, РЕНТГЕНОВСКИЙ ЭКСПЕРИМЕНТ И РАСШИФРОВКА СТРУКТУРЫ

Кристаллы новой фазы синтезированы в гидротермальных условиях при $T = 280^\circ\text{C}$ и $P = 70$ атм в стандартных автоклавах объемом 4 см³, футерованных фторопластом. Весовые отношения исходных компонентов системы $\text{NaF} : \text{Rb}_2\text{CO}_3 : \text{Al}_2\text{O}_3 : \text{Rb}_3\text{PO}_4 : \text{H}_2\text{O} = 1 : 1 : 3 : 1 : 30$. Длительность опытов – 18 дней. Полученные кристаллы представляют собой прозрачные бесцветные октаэдры с максимальным линейным размером до 0.5 мм; они составляют около 30% от массы опыта. По данным качественного рентгеноспектрального микроанализа¹ (Jeol JSM-6480LV, энергодисперсионный дифракционный спектрометр INCA-Wave 500) в составе кристаллов присутствуют атомы Rb, Na, Al, F.

Параметры элементарной ячейки и симметрия синтезированной фазы, а также условия проведения рентгеновского эксперимента и результаты уточнения кристаллической структуры приведены в табл. 1. Набор экспериментальных интенсивностей получен на монокристальном рентгеновском дифрактометре Xcalibur S, оснащенном CCD-детектором (MoK_α -излучение, $\lambda = 0.7107$ Å, графитовый монохроматор). Зарегистрированные интенсивности отражений (полная сфера обратного пространства) скорректированы с учетом фактора Лоренца и поляризационного эффекта. Эмпирическая поправка на поглощение введена при моделировании формы исследованного монокристалла. Все расчеты по расшифровке и уточнению структуры осуществлены в рамках программного пакета winGX [12]. Структура решена прямыми методами и уточнена в анизотропном приближении тепловых колебаний атомов до значения R -фактора 0.0188 с помощью комплекса программ SHELX [13]. Использованы кривые атомного рассеяния и поправки на аномальную дисперсию из [14]. Координаты базисных атомов с тепловыми поправками приведены в табл. 2.

АНАЛИЗ МЕЖАТОМНЫХ РАССТОЯНИЙ И ОПИСАНИЕ КРИСТАЛЛИЧЕСКОЙ СТРУКТУРЫ

Независимый фрагмент кристаллической структуры $\text{Rb}_2\text{NaAlF}_6$ представлен на рис. 1, из которого видно, что два типа катионов координированы анионами фтора по октаэдру. Длины связей $\text{Al}-\text{F} = 1.8171(17)$ Å и $\text{Na}-\text{F} = 2.3372(17)$ Å несколько превышают расстояния в октаэдрах Al и

¹ Проведен в Лаборатории локальных методов исследования вещества кафедры Петрологии Геологического факультета МГУ.

Таблица 1. Кристаллографические характеристики, данные эксперимента и уточнения структуры $\text{Rb}_2\text{NaAlF}_6$

M	669.82
Сингония, пр. гр., Z	Кубическая, $Fm\bar{3}m$, 4
a , Å	8.3087(1)
V , Å ³	573.59(1)
D_x , г/см ³	3.88
Излучение; λ , Å	MoK_α ; 0.71073
Размер кристалла, мм	0.07 × 0.08 × 0.09
μ , mm^{-1}	17.33
T , К	293(2)
Дифрактометр	Xcalibur S CCD
Тип сканирования	ω
Учет поглощения	Эмпирический
T_{\min}, T_{\max}	0.267, 0.380
θ_{\max} , град	34.91
Пределы h, k, l	$-13 \leq h \leq 13, -13 \leq k \leq 13, -12 \leq l \leq 13$
Число отражений: измененных/независимых (N_1)/с $I > 2\sigma(I)$ (N_2)	3580/91/86
Метод уточнения	по F^2
Число уточняемых параметров	7
Весовая схема	$1/[\sigma^2(F_o^2) + (0.0113P)^2], P = (F_o^2 + 2F_c^2)/3$
R_{int}/R_σ	0.063/0.015
$R1/wR2$ по N_1	0.0220/0.0342
$R1/wR2$ по N_2	0.0188/0.0338
S	1.528
$\Delta\rho_{\min}/\Delta\rho_{\max}$, э/Å ³	-0.42/0.30

На структуры минерала эльпасолита K_2NaAlF_6 , где они равны 1.806 и 2.252 Å соответственно [2]. Отмеченное увеличение межатомных расстояний вполне закономерно и обусловлено вхождением в структуру более крупных в сравнении с K атомов Rb. Последние находятся в центрах кубооктаэдров из атомов F (рис. 2): расстояние $\text{Rb}-\text{F} = 2.9491(2)$ Å. Аналогичное увеличение длин связей в октаэдрах характерно для “эльпасолитов”

Таблица 2. Координаты базисных атомов и эквивалентные тепловые параметры в структуре $\text{Rb}_2\text{NaAlF}_6$

Атом	x/a	y/b	z/c	$U_{\text{экв}}$, Å ²
Rb	0.25	0.25	0.25	0.01450(16)
Na	0.5	0.0	0.0	0.0140(6)
Al	0.0	0.0	0.0	0.0082(4)
F	0.0	0.2187(2)	0.0	0.0147(4)

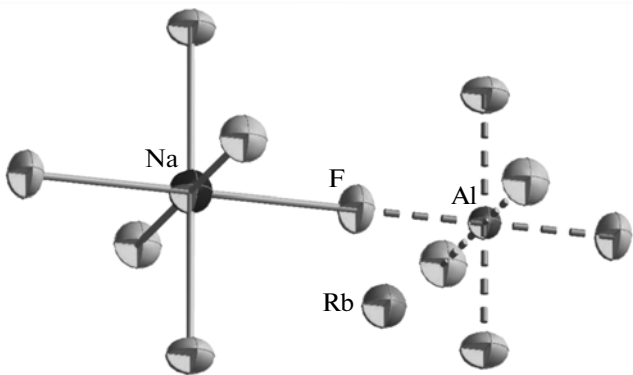


Рис. 1. Независимый фрагмент кристаллической структуры $\text{Rb}_2\text{NaAlF}_6$. Эллипсоиды тепловых колебаний показаны с вероятностью 90%.

при смене атома щелочного металла в двенадцативершиннике. Так, в структуре $\text{Cs}_2\text{NaFeF}_6$ [15] расстояния катион–анион в октаэдрах $\text{Na}–\text{F}$ = 2.420 Å и $\text{Fe}–\text{F}$ = 1.950 Å больше, чем в структуре $\text{Rb}_2\text{NaFeF}_6$ [16], где они равны 2.298 и 1.933 Å соответственно.

Кристаллическая структура эльпасолита (рис. 3), описываемая кубической пр. гр. $Fm\bar{3}m$, представляет собой сверхструктуру с удвоенными параметрами элементарной ячейки по отношению к перовскиту. Ее образование теоретически можно рассматривать как результат упорядоченного замещения двух катионов M^{2+} в кристаллической решетке типа перовскита $AM\text{F}_3 \rightarrow A_2^+ M^{2+} M^{2+}\text{F}_6$ на два различающихся по размеру и заряду катиона B^+ и M^{3+} в $A_2^+ B^+ M^{3+}\text{F}_6$ [3]. В гранецентрированной ячейке типа эльпасолита атомы M располагаются в ее вершинах и центрах граней, атомы B занимают позиции на середине ребер и в центре элементарного куба, а атомы A центрируют малые октанты, отвечающие по размерам протоячейке

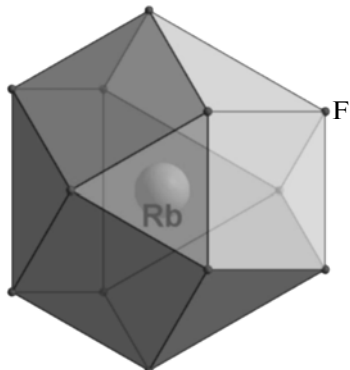


Рис. 2. Томсоновский куб из атомов фтора вокруг иона Rb^+ в структуре эльпасолита.

перовскита. В такой структуре углы $M–\text{F}–B$ в цепочках октаэдров, вытянутых вдоль ребер элементарной ячейки, равны 180° . Было показано, что структурный тип перовскита реализуется для фторидов $A^+ M^{2+}\text{F}_3$ в том случае, если значение так называемого фактора толерантности (величина отношения сумм радиусов ионов, формирующих структуру) $t = (r_A + r_F)/\sqrt{2}(r_M + r_F)$ лежит в пределах $0.76 \leq t \leq 1.13$ [17]. Интерпретация структуры эльпасолита как сверхструктуры на основе перовскита позволяет, как предложено в [8, 10], использовать “фактор толерантности” в применении к “эльпасолитам”; тогда его выражение принимает вид: $t = \sqrt{2}(r_A + r_F)/(r_M + r_B + 2r_F)$. Установлено, что кубическая симметрия характерна для эльпасолитов с фактором толерантности в интервале $0.88 \leq t \leq 1.00$ [8, 10], когда все катионы A (КЧ 12), M (КЧ 6) и B (КЧ 6) связаны с анионами.

Причина искажения структуры эльпасолита, фиксируемая величиной фактора толерантности, лежит в нарушении размерных взаимосвязей между формирующими ее атомами. Тип искажения зависит от относительного размера катиона A^+ . Величина $t \geq 1$ означает, что катион A^+ слишком крупный для кубической ячейки и, как правило, для эльпасолитов со значением фактора толерантности, превышающим единицу, характерна гексагональная (ромбоэдрическая) симметрия. Однако их полиморфные метастабильные разно-

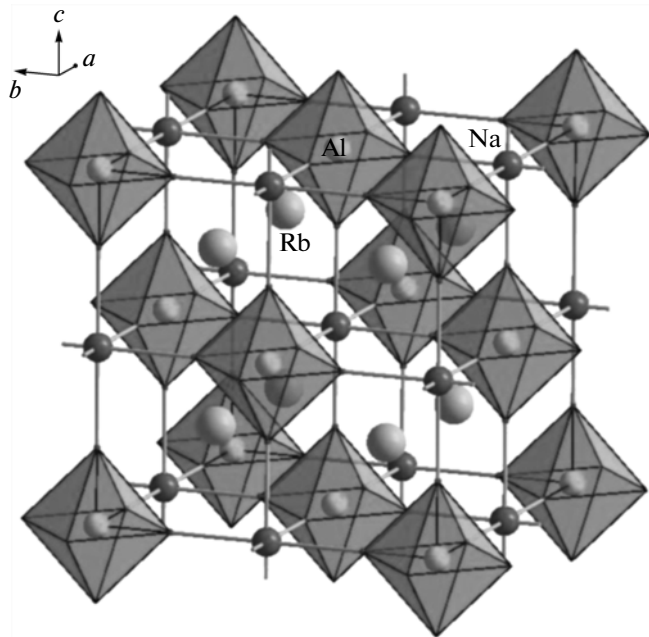


Рис. 3. Кристаллическая структура $\text{Rb}_2\text{NaAlF}_6$ в аксонометрической проекции. Атомы F расположены на вершинах AlF_6 -октаэдров.

видности — фазы высокого давления, в структурах которых наблюдается растягивание связей $M-F$ относительно обычных величин за счет входления в ячейку слишком крупного одновалентного катиона в A -позицию, — описываются кубической элементарной ячейкой [3]. Примерами гексагональных эльпасолитов, для которых известны кубические фазы высокого давления, являются соединения Rb_2LiFeF_6 [18] и Cs_2NaFeF_6 [15]. Понижение симметрии эльпасолитов относительно кубической может быть связано и с заселением M -позиций ян-теллеровскими ионами. Так, искажение MnF_6 октаэдров за счет увеличения длин двух связей $Mn-F$, препендикулярных экваториальной плоскости, приводит к понижению симметрии до тетрагональной в кристаллических структурах фторманганатов Rb_2NaMnF_6 , Rb_2KMnF_6 , Cs_2KMnF_6 и K_2NaMnF_6 [19].

В том случае, когда катион A^+ слишком маленький ($0.88 \leq t$), кристаллическая структура также искажается за счет изгиба связей $M-F-B$, который обуславливает сохранение хотя бы части контактов $A-F$. Примерами искажений такого рода являются структуры моноклинных криолитов [20].

Для эльпасолита K_2NaAlF_6 и его синтетической Rb-разновидности Rb_2NaAlF_6 факторы толерантности равны 0.949 и 0.986 соответственно [3], т.е. находятся в пределах, характеризующих существование стабильных кубических структур. Как отмечено выше, эльпасолит встречается в природе в породах различных геохимических и генетических типов. Многообразие обстановок формирования в природе эльпасолита обусловлено, вероятно, его наиболее высокосимметричной структурой среди щелочных фторалюминатных минералов и широким полем устойчивости [1]. Главным образом эльпасолит образуется как вторичный минерал и часто связан с пегматитами. Рубидий относится к рассеянным элементам, демонстрируя тесное геохимическое родство с калием — одним из наиболее распространенных в земной коре элементов. Благодаря близости размеров одновалентных катионов K^+ и Rb^+ последний изоморфно замещает калий в структурах минералов, что и обеспечивает его рассеяние в природе. Открытие в последнее десятилетие нескольких собственных минералов рубидия в поздних ассоциациях редкометальных гранитных пегматитов [21], подтвержденная исследованием изоструктурность эльпасолита K_2NaAlF_6 и кристаллов Rb_2NaAlF_6 , а также получение в лабораторных

условиях кубических эльпасолитов со смешанным заселением A -позиции атомами К и Rb [10] позволяют предполагать обнаружение в природе эльпасолита, обогащенного рубидием.

Авторы выражают благодарность Н.В. Зубковой за участие в получении экспериментального материала на рентгеновском дифрактометре и Н.Н. Каратаевой — за анализ кристаллов на микрозонде.

Работа выполнена при финансовой поддержке Российского фонда фундаментальных исследований (грант № 10-05-01068а).

СПИСОК ЛИТЕРАТУРЫ

1. Пеков И.В., Чуканов Н.В. и др. // Зап. Рос. минерл. о-ва. 2007. № 6. С. 76.
2. Sabelli C. // N. Jb. Miner. Mh. 1987. P. 481.
3. Massa W., Babel D. // Chem. Rev. 1988. V. 88. P. 275.
4. Greenough P., Paulusz A.G. // J. Chem. Phys. 1979. V. 70. P. 1967.
5. Torchia G.A., Martinez-Matos O., Khaidukov N.M., Tocho J.O. // Solid State Commun. 2004. V. 130. P. 159.
6. Da Silva M.A.F., Barthem R.B., Sosman L.P. // J. Solid State Chem. 2006. V. 179. P. 3718.
7. Makhov V.N., Khaidukov N.M., Lo D. et al. // Opt. Mater. 2005. V. 27. P. 1131.
8. Babel D., Tressaud A. // Inorganic Solid Fluoridees / Ed. Hagenmuller P. New York: Academic Press, 1985. P. 77.
9. Flerov I.N., Gorev M.V., Grannec J., Tressaud A. // J. Fluorine Chem. 2002. V. 116. P. 9.
10. Babel D., Haegle R., Pausewang G., Wall F. // Mater. Res. Bull. 1973. V. 8. P. 1371.
11. Tressaud A., Khairoun S., Danse J.M., Hagenmuller P. // Z. Anorg. Allg. Chem. 1984. B. 517. S. 43.
12. Farrugia L.J. // J. Appl. Cryst. 1999. V. 32. P. 837.
13. Sheldrick G.M. // Acta Cryst. A. 2008. V. 64. P. 112.
14. Prince E. Ed. International Tables. 2004. 3rd edth. Tables 4.2.6.8 and 6.1.14.
15. Herdtweck E., Massa W., Babel D. // Z. Anorg. Allg. Chem. 1986. B. 539. S. 87.
16. Massa W., Babel D., Epple M., Ruedorff W. // Rev. Chim. Mineral. 1986. V. 23. P. 508.
17. Babel D. // Z. Anorg. Allg. Chem. 1969. B. 369. S. 117.
18. Massa W., Babel D. // Z. Anorg. Allg. Chem. 1980. B. 469. S. 75.
19. Massa W. // Rev. Inorg. Chem. 1999. V. 19. P. 117.
20. Матвиенко Е.Н., Якубович О.В., Симонов М.А. и др. // ДАН СССР. 1981. Т. 257. № 1. С. 105.
21. Пеков И.В., Кононкова Н.Н. // Геохимия. 2010. № 7. С. 741.